

УДК 539.193:544.431.133

**СТРУКТУРА КЛАСТЕРОВ ВОДЫ $(\text{H}_2\text{O})_6^-$ И АММИАКА $(\text{NH}_3)_{13}^-$
С ИЗБЫТОЧНЫМ ЭЛЕКТРОНОМ. КВАНТОВО-ХИМИЧЕСКИЕ ИССЛЕДОВАНИЯ**

И.И. Захаров

*Восточноукраинский национальный университет им. В. Даля, Технологический институт, Северодонецк,
Украина
E-mail: zvonu@rambler.ru*

Статья поступила 9 января 2013 г.

Методом B3LYP в рамках теории функционала плотности DFT и методом *ab initio* в рамках теории возмущений Меллера—Плессе второго порядка MP2 с расширенным базисом 6-311++G(3df,3pd) рассчитано адиабатическое связное состояние избыточного электрона в кластерах воды $(\text{H}_2\text{O})_6^-$ и аммиака $(\text{NH}_3)_{13}^-$. Адиабатическое сродство к электрону кластеров $(\text{H}_2\text{O})_6$ и $(\text{NH}_3)_{13}$ составляет 0,03—0,18 и 0,18 эВ соответственно. Рассчитанные значения вертикальной энергии связи избыточного электрона в анионных кластерах $(\text{H}_2\text{O})_6^-$ 0,37÷0,66 и $(\text{NH}_3)_{13}^-$ 0,26 эВ хорошо соответствуют экспериментальным значениям 0,50 и 0,22 эВ, полученным из фотоэлектронных спектров. Рассмотрена кавитационная модель сольватированных электронов в воде и аммиаке.

Ключевые слова: квантово-химические DFT и MP2 расчеты, молекулярные кластеры воды и аммиака, модель сольватированного электрона.

ВВЕДЕНИЕ

Два столетия назад сольватированные электроны впервые наблюдали в жидким аммиаке [1] (в 1808 г. Г. Деви наблюдал явление окрашивания в голубой и бронзовый цвет растворов калия в аммиаке). В настоящее время явления, происходящие при введении избыточных электронов в различные среды, продолжают оставаться предметом постоянного внимания исследователей (см. [2—4]). Первую количественную теорию состояния электрона, сольватированного в аммиаке, предложил Огг [5]. На основе наблюдаемого увеличения мольного объема аммиака при растворении в нем щелочных металлов Огг предположил, что вокруг электрона в аммиаке образуется "полость" (the cavity). Идея об образовании полости в дальнейшем сформировала кавитационную модель (the cavity model) сольватированных электронов в полярных жидкостях (развитие представлений о моделях и физической химии сольватированных электронов рассмотрено в работе [2]).

С тех пор идея создания кавитационной модели для избыточного электрона e_{solv}^- в полярных средах аммиака [3] и воды [4] является постоянным стимулом новых физико-химических исследований.

Трудности создания такой модели начинаются с того, что ни молекула H_2O , ни молекула NH_3 не могут присоединить избыточный электрон с выигрышем энергии. Тем не менее молекулярные кластеры воды и аммиака могут "связывать" избыточный электрон. Недавние экспериментальные исследования фотоэлектронных спектров анион-аммиачных кластеров $(\text{NH}_3)_n^-$, где $n = 13, 20, 30, 40, 50$ и более [6, 7], показывают, что объемные кластеры (the cage-cluster) моле-

кул аммиака действительно могут образовывать энергетически связанные состояния с избыточным электроном. Это же свойственно и объемным кластерам воды $(\text{H}_2\text{O})_n^-$, где $n = 6, 7, 10$ и более [8]. Эти результаты подтверждают идею [9], что к модели сольватированного электрона можно подойти, рассматривая квантово-химические и экспериментальные свойства избыточного электрона в изолированных объемных "cage"-структурах анионов воды $(\text{H}_2\text{O})_n^-$ и аммиака $(\text{NH}_3)_n^-$ в газовой фазе как эмбрионы гидратированных или сольватированных электронов ("as embryonic hydrated electrons" [8]). Однако здесь трудности создания модели усложняются тем, что до сих пор не удалось охарактеризовать молекулярные структуры анионов воды $(\text{H}_2\text{O})_n^-$ с $n \geq 6$ и аммиака $(\text{NH}_3)_n^-$ с $n \geq 13$, для которых квантово-химический расчет давал бы адиабатическое связанное состояние избыточного электрона [2—4, 10].

В данной работе проведены детальные квантово-химические расчеты энергетических состояний избыточного электрона в объемных кластерах $(\text{H}_2\text{O})_6^-$ и $(\text{NH}_3)_{13}^-$; впервые удалось смоделировать адиабатическое связанное состояние избыточного электрона. Квантово-химические расчеты проводили методом молекулярных орбиталей (МО) в рамках теории функционала плотности DFT/B3LYP [11, 12] и теории возмущений Меллера—Плессе второго порядка (HF/MP2) [13]. Заряды атомов q_e и атомные спиновые заселенности q_s рассчитывали на основе анализа электронной плотности по Малликену. Значения величин q_e и q_s использовали для характеристики локальных свойств избыточного электрона. Все расчеты проводили в рамках комплекса программ Gaussian 03 [14].

РЕЗУЛЬТАТЫ И ИХ ОБСУЖДЕНИЕ

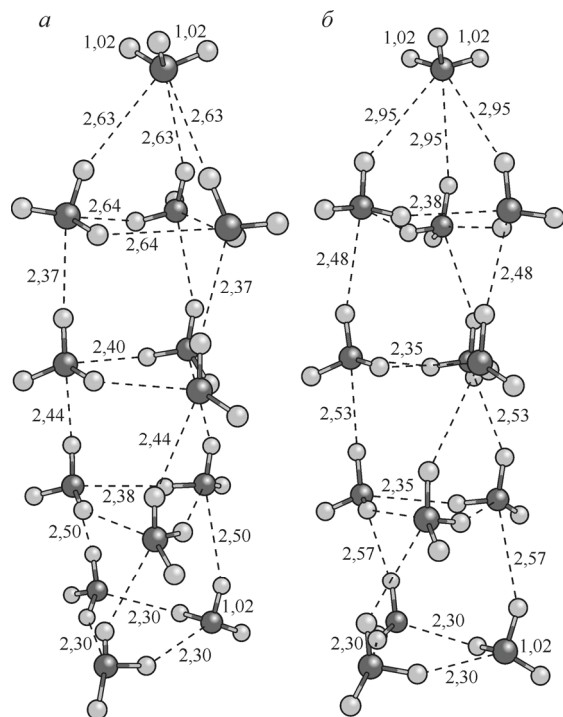
Интенсивные исследования скорости электронных реакций в воде и аммиаке показывают, что реакционная способность электронов в аммиаке на несколько порядков меньше, чем в воде [15]. Это может быть связано с различными размерами анионных кластеров воды и аммиака. Так, для воды наблюдаются (см. рис. 1 в [8]) небольшие объемные кластеры, такие как $(\text{H}_2\text{O})_6^-$, в то время как аммиак формирует анионы, начиная только с больших размеров $(\text{NH}_3)_n^-$, где $n = 13$ (см. рис. 1 в [6]). Как отмечено в работе [10], квантово-химические расчеты энергетических состояний избыточного электрона в кластерах $(\text{H}_2\text{O})_n^-$ и $(\text{NH}_3)_n^-$ нуждаются в достаточно широком базисе, чтобы правильно воспроизвести диполь-связанное состояние электрона с очень низкой энергией связи. Для количественной оценки энергии связывания избыточного электрона нами проведены расчеты электронной и геометрической структуры кластеров с использованием расширенного triple- ζ валентно-расщепленного базиса 6-311++G(3df, 3pd), включающего две диффузные и четыре поляризационные функции (три d -функции и одна f -функция) для атомов азота и кислорода, а также две диффузные и четыре поляризационные функции (три p -функции и одна d -функция) для атомов водорода.

РАСЧЕТ МОЛЕКУЛЯРНЫХ КЛАСТЕРОВ АММИАКА $(\text{NH}_3)_{13}^-$ И $(\text{NH}_3)_{13}^-$

Для обоснования квантово-химической модели избыточного электрона в анионных кластерах аммиака $(\text{NH}_3)_n^-$ прежде всего примем во внимание общепризнанные представления [10, 16] о том, что экспериментально наблюдаемые устойчивые состояния анионных кластеров $(\text{NH}_3)_n^-$ в газовой фазе [6, 7] реализуются благодаря высокому электрон-дипольному взаимодействию (диполь-связанное состояние избыточного электрона). В связи с этим стоит задача "смоделировать изомеры кластеров аммиака с существенно большими дипольными моментами" [10].

Модель кластера аммиака $(\text{NH}_3)_{13}$ с наибольшим дипольным моментом из всех его изомеров представлена на рис. 1, б ($\mu = 10,5$ Д). Высокий дипольный момент в таком изомере обусловлен тем, что водородные связи H---N между циклическими тримерами 3NH_3 направлены

Рис. 1. B3LYP/6-311++G(3df,3pd) оптимизированные структуры (симметрия C_3) молекулярных кластеров аммиака $(\text{NH}_3)^{-}_{13}$ и $(\text{NH}_3)_{13}$: для отрицательно заряженного состояния $q = -1$, в котором избыточный электрон локализован на атомах водорода в "верхнем" тетрамере $(\text{NH}_3)_4$ (а); для электронейтрального состояния, $q = 0$ (б). Длины водородных связей H–N указаны в ангстремах



только в одну сторону. Этот изомер очень удобно рассматривать как нанотрубку $4 \cdot 3\text{NH}_3 + \text{NH}_3$, составляющим элементом которой является циклический тример 3NH_3 . Геометрия рассчитанного изомера $(\text{NH}_3)_{13}$ соответствует симметрии C_3 . Результаты B3LYP/6-311++G(3df,3pd) расчета молекулярных кластеров $(\text{NH}_3)^{-}_{13}$ и $(\text{NH}_3)_{13}$ представлены в табл. 1.

Для оценки полученных результатов расчета мы в первую очередь пытались выяснить, какими энергетическими параметрами можно охарактеризовать рассчитанное связанное состояние избыточного электрона в кластере аммиака. Так, хорошо известные спектроскопические результаты фотоэлектронных спектров анионных кластеров аммиака $(\text{NH}_3)^{-}_n$ [6, 7] можно рационализовать в энергетические характеристики избыточного электрона. Центр пика фотоэлектронного спектра соответствует вертикальной энергии отрыва электрона из анион-кластера (Vertical Detachment Energy — VDE). Эту энергетическую величину можно интерпретировать как вертикальную энергию связи избыточного электрона в кластере. Ее можно получить квантовохимическими расчетами следующим образом [17]: полную энергию оптимизированной струк-

Таблица 1

Результаты B3LYP/6-311++G(3df,3pd) расчета электронной структуры молекулярных кластеров аммиака $(\text{NH}_3)^{-}_{13}$ и $(\text{NH}_3)_{13}$

Молекулярная система, симметрия и свойства	B3LYP/6-311++G(3df,3pd)	
	$(\text{NH}_3)^{-}_{13} C_3$ (рис. 1, а)	$(\text{NH}_3)_{13} C_3$ (рис. 1, б)
Полная энергия E_{tot} , ат.ед. ^a	-735,71000	-735,70322
Дипольный момент μ , Д	—	10,5 (13,6) ^b
Избыточный электрон:		
ВЭС, эВ	0,26 [0,22] ^b	—
АЭС, эВ	0,18	—
Зарядовая плотность q_e	$q_e(\text{NH}_3)_4 = -0,90^{\text{г}}$	$q_e(\text{NH}_3)_4 = -0,03^{\text{г}}$
Спиновая плотность q_s	$q_s(\text{NH}_3)_4 = +0,90^{\text{г}}$	—

^a Используемые соотношения энергетических единиц: 1 ат.ед. = 27,21 эВ.

^b В круглых скобках приведено значение μ для оптимизированной геометрии аниона.

^b В квадратных скобках приведены экспериментальные значения ВЭС [6].

^г Зарядовая и спиновая плотность приведена для "верхнего" тетрамера $(\text{NH}_3)_4$ в структуре $(\text{NH}_3)_{13}$ (см. рис. 1).

туры анионного кластера сравнить с энергией нейтрального кластера той же геометрии; эта разница энергий и будет характеризовать вертикальную энергию связи (ВЭС) избыточного электрона в кластере. Сравнивая же полную энергию *оптимизированной* структуры анионного кластера с энергией *оптимизированной* структуры нейтрального кластера, мы оцениваем *адиабатическую* энергию связи (АЭС) избыточного электрона.

Результаты B3LYP/6-311++G(3df,3pd) расчета ВЭС избыточного электрона в кластере $(\text{NH}_3)^{-}_{13}$ представлены в табл. 1. Разница энергий оптимизированной структуры анионного кластера ($E_{\text{opt}} = -735,71000$ ат. ед.) и нейтрального кластера $(\text{NH}_3)^{-}_{13}$ той же геометрии ($E_{\text{sp}} = -735,70027$ ат. ед.) составила 0,26 эВ. Эту величину можно сравнить с экспериментальными результатами для вертикальной энергии отрыва электрона, полученной из фотоэлектронных спектров анионных кластеров аммиака $(\text{NH}_3)^{-}_n$ [6]. Для кластеров с $n \geq 13$ в работе [6] предложена формула для ВЭС:

$$\text{ВЭС}(n) = 1,5 - 3,0 \cdot n^{-1/3} \text{ (эВ).}$$

Для $n = 13$ получаем значение $\text{ВЭС}(13) = 0,22$ эВ, которое хорошо соответствует результатам нашего расчета: $\text{ВЭС} = 0,26$ эВ. Оценивая АЭС избыточного электрона в кластере $(\text{NH}_3)^{-}_{13}$ в рамках метода B3LYP/6-311++G(3df,3pd), мы приходим к значению 0,18 эВ (см. табл. 1).

Таким образом, оцененное нами значение 0,18÷0,26 эВ для энергии связывания избыточного электрона в кластере $(\text{NH}_3)^{-}_{13}$ дает фундаментальное обоснование для структуры сольватированного электрона в аммиаке e_{solv}^{-} . В соответствии с предыдущими представлениями [18, 19] из расчетов следует, что e_{solv}^{-} — это электрон, захваченный в полости, которая образована поляризованными молекулами NH_3 . Как видно на рис. 1, *a*, сольватная полость в ассоциате $(13\text{NH}_3)^{-}$ сформирована "верхним" тетрамером 4NH_3 в форме искаженного тетраэдра с симметрией C_3 . Расчеты электронной q_e и спиновой плотности q_s подтверждают, что избыточный электрон полностью локализован на "верхнем" тетрамере 4NH_3 ассоциата $(13\text{NH}_3)^{-}$ (см. рис. 1, *a*). Это соответствует анализу молекулярных структур $(\text{NH}_3)_n$ в работе [10], где делается вывод, что наиболее походящей структурой (с *наибольшим дипольным моментом*) для локализации избыточного электрона является тетramer 4NH_3 с симметрией C_3 или C_{3v} (см. рис. 4 в [10]).

РАСЧЕТ МОЛЕКУЛЯРНЫХ КЛАСТЕРОВ ВОДЫ $(\text{H}_2\text{O})^{-}_6$ И $(\text{H}_2\text{O})^{+}_6$

Для рассмотрения квантово-химической модели избыточного электрона в анионном кластере воды $(\text{H}_2\text{O})^{-}_6$ мы исходили из представлений о наиболее устойчивых структурах анионных кластеров тетрамера $(\text{H}_2\text{O})^{-}_4$ [17] и димера $(\text{H}_2\text{O})^{-}_2$ [20]. На рис. 2 представлена рассчитанная геометрия $(\text{H}_2\text{O})^{-}_6$ как ассоциативная структура аниона тетрамера $(\text{H}_2\text{O})^{-}_4$ и димера $(\text{H}_2\text{O})^{-}_2$: основанием анионного кластера $(\text{H}_2\text{O})^{-}_6$ служит циклический, плоский тетрамер $(\text{H}_2\text{O})^{-}_4$, у которого все некоординированные атомы водорода направлены в одну сторону, а сверху к тетрамеру ассоциирован димер $(\text{H}_2\text{O})^{-}_2$. Как показано в [17], именно такая структура тетрамера $(\text{H}_2\text{O})^{-}_4$ наиболее склонна к локализации избыточного электрона (см. рис. 2, *C* в [17]). Ассоциированный димер $(\text{H}_2\text{O})^{-}_2$ в структуре кластера воды $(\text{H}_2\text{O})^{-}_6$ (см. рис. 2) характеризуется как *цикло-изомер* (см. рис. 1 в [20]), в котором тоже все некоординированные атомы

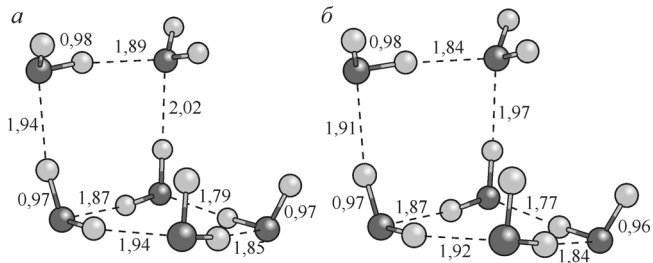


Рис. 2. Результаты B3LYP/6-311++G(3df,3pd) (*a*) и MP2/6-311++G(3df,3pd) (*b*) расчета оптимизированной структуры (симметрия C_1) анионного кластера воды $(\text{H}_2\text{O})^{-}_6$. Длины водородных связей $\text{H}-\text{O}$ указаны в ангстремах

водорода направлены в одну сторону. Как было показано выше, для кластеров аммиака именно такой структурный мотив обеспечивает высокое электрон-дипольное взаимодействие и связанное состояние избыточного электрона.

Здесь уместно заметить, что в работе [20] квантово-химическим расчетом *ab initio* CCSD(T) по теории связанных кластеров (Coupled Cluster) впервые правильно воспроизведен фотоэлектронный спектр для аниона димера воды $(\text{H}_2\text{O})_2^-$ [8, 16]: рассчитанное значение вертикальной энергии связи избыточного электрона ВЭС ≈ 40 мэВ (см. рис. 1 в [20]) хорошо согласуется с экспериментальным значением ВЭС = 45 ± 5 мэВ (см. рис. 6 в [16]).

Геометрия и электронная структура аниона воды $(\text{H}_2\text{O})_6^-$ нами рассчитаны в рамках теории функционала плотности DFT/B3LYP и теории возмущений Меллера—Плессе второго порядка HF/MP2. Результаты расчета представлены на рис. 2 и в табл. 2. Разница энергий в методе B3LYP оптимизированной структуры анионного кластера $(\text{H}_2\text{O})_6^-$ ($E_{\text{opt}} = -458,85869$ ат. ед.) и энергии нейтрального кластера $(\text{H}_2\text{O})_6$ той же геометрии ($E_{\text{sp}} = -458,83428$ ат. ед.) составила ВЭС = 0,66 эВ. В то же время в методе MP2 эта разница энергий ($E_{\text{opt}} = -458,01217$ ат. ед.) и ($E_{\text{sp}} = -457,99863$ ат. ед.) составила ВЭС = 0,37 эВ. Эти величины можно сравнить с экспериментальными результатами для вертикальной энергии отрыва электрона ВЭС = 0,50 эВ, полученной из фотоэлектронных спектров анионного кластера $(\text{H}_2\text{O})_6^-$ (см. рис. 1 в [8]). Оценивая АЭС избыточного электрона в кластере $(\text{H}_2\text{O})_6^-$ в рамках метода B3LYP, мы приходим к значению 0,18 эВ, в рамках метода MP2 — к значению 0,03 эВ (см. табл. 2).

Таким образом, теоретически полученное значение 0,37–0,66 эВ для вертикальной энергии связывания избыточного электрона в кластере $(\text{H}_2\text{O})_6^-$ хорошо соответствует экспериментальному результату для энергии отрыва электрона ВЭС = 0,50 эВ из фотоэлектронных спектров [8].

Анализируя литературные данные по расчетам ВЭС избыточного электрона в анионных кластерах аммиака [10] и воды [17, 21], следует отметить очень важный момент, который декларируется во всех экспериментальных исследованиях и анионных кластеров [7, 8, 16], и соль-

Таблица 2

Результаты B3LYP и MP2 расчета электронной структуры молекулярных кластеров воды $(\text{H}_2\text{O})_6^-$ и $(\text{H}_2\text{O})_6$

Параметр	B3LYP/6-311++G(3df,3pd)		MP2/6-311++G(3df,3pd)	
	$(\text{H}_2\text{O})_6^-$ C_1 (рис. 2, а)	$(\text{H}_2\text{O})_6$ C_1 (рис. 3, а)	$(\text{H}_2\text{O})_6^-$ C_1 (рис. 2, б)	$(\text{H}_2\text{O})_6$ C_1 (рис. 3, б)
Полная энергия E_{tot} , ат.ед. ^a	-458,85869	-458,85198	-458,01217	-458,01120
Дипольный момент μ , Д	—	2,0 (9,2) ^b	—	6,4 (9,7) ^b
Избыточный электрон:				
ВЭС, эВ	0,66 [0,50] ^b	—	0,37 [0,50] ^b	—
АЭС, эВ	0,18	—	0,03	—
Зарядовая плотность q_e	$q_e(\text{H}_2\text{O})_2 = -0,94^{\text{г}}$	$q_e(\text{H}_2\text{O})_2 = 0,0^{\text{г}}$	$q_e(\text{H}_2\text{O})_2 = -1,1^{\text{г}}$	$q_e(\text{H}_2\text{O})_2 = -0,1^{\text{г}}$
Спиновая плотность q_s	$q_s(\text{H}_2\text{O})_2 = +0,90$		$q_s(\text{H}_2\text{O})_2 = +1,0$	

^a Используемые соотношения энергетических единиц: 1 ат. ед. = 27,21 эВ.

^b В круглых скобках приведены значения μ для оптимизированной геометрии аниона.

^г В квадратных скобках приведены экспериментальные значения ВЭС [8].

^г Зарядовая и спиновая плотность приведена для "верхнего" димера $(\text{H}_2\text{O})_2$ в структуре гексамера $(\text{H}_2\text{O})_6^-$ (см. рис. 2).

ватированных электронов [18, 19]: *адиабатическая энергии связи избыточного электрона должна быть лишь немного меньше вертикальной энергии связи*. Так, например, для сольватированных электронов в воде максимум полосы поглощения $\lambda_{\max} = 715$ нм соответствует энергии 1,73 эВ, достаточной для выхода его из сольватной оболочки [18]. После оптического перехода электрон флуоресцирует и возвращается в основное (адиабатическое) состояние. Поляризационное поле адиабатического состояния с энергией 1,63 эВ и определяет свободную энергию гидратации $e_{\text{solv}}^- (\Delta G_{298}^0 = -157,3 \text{ кДж} [22])$.

В связи с этими представлениями в расчетах анионных кластеров необходимо смоделировать структуру кластеров воды и аммиака, способных к удерживанию избыточного электрона в равновесных условиях (адиабатическое связывание). Именно такого результата и не достигнуто в предыдущих исследованиях [10, 17, 21].

Рассмотрим конкретно результаты расчета кластера воды $(\text{H}_2\text{O})_6^-$ в работе [21]. В ней на рис. 2 приведена рассчитанная структура 6,4(бкл) с вертикальной энергией связи избыточного электрона 0,566 эВ (см. табл. 2 в [21]). Мы также рассчитывали такую структуру $(\text{H}_2\text{O})_6^-$. Она характеризуется *меньшей энергетической устойчивостью* по сравнению со структурой, рассмотренной в нашей работе (см. рис. 2). Отметим также, что при расчете энергии оптимизированной структуры электронейтрального кластера воды $(\text{H}_2\text{O})_6$ при стартовой геометрии для анионного кластера воды $(\text{H}_2\text{O})_6^-$ типа 6,4(бкл) мы получаем значение энергии кластера, которое указывает на *отсутствие адиабатической энергии связи избыточного электрона* (энергию нужно затратить, чтобы из нейтрального кластера получить устойчивое состояние анионного кластера воды $(\text{H}_2\text{O})_6^-$ типа 6,4(бкл)). Ясно, что такие анионные кластеры воды не могут рассматриваться как эмбрионы гидратированных электронов. Все это заставило нас искать более устойчивую структуру анионного кластера воды $(\text{H}_2\text{O})_6^-$, которая представлена в данной работе на рис. 2. В связи с вышесказанным можно сделать одно методическое обобщение: если мы попытаемся смоделировать анионные кластеры для гидратированного электрона через "подгонку под эксперимент" только рассчитанной ВЭС избыточного электрона при отсутствии его адиабатического связывания в этих кластерах, то мы можем легко прийти к неправильному выводу, как, например, в работе [21], что экспериментальная "величина $\sim 1,7$ эВ вообще весьма сомнительна" для энергии гидратации электрона.

ЗАКЛЮЧЕНИЕ

Методом B3LYP в рамках теории функционала плотности DFT и методом *ab initio* в рамках теории возмущений Меллера—Плессе второго порядка MP2 с расширенным базисом 6-311++G(3df,3pd) охарактеризовано адиабатическое связанное состояние избыточного электрона в кластерах воды $(\text{H}_2\text{O})_6^-$ и аммиака $(\text{NH}_3)_{13}^-$. Адиабатическое средство к электрону кластеров $(\text{H}_2\text{O})_6$ и $(\text{NH}_3)_{13}$ составляет 0,03—0,18 эВ и 0,18 эВ соответственно. Рассчитанные значения ВЭС избыточного электрона в этих кластерах $((\text{H}_2\text{O})_6^- 0,37 \div 0,66 \text{ эВ и } (\text{NH}_3)_{13}^- 0,26 \text{ эВ})$ хорошо соответствуют экспериментальным значениям 0,50 эВ и 0,22 эВ, полученным из фотоэлектронных спектров. Из сравнения рассчитанных геометрий для анионного $(\text{H}_2\text{O})_6^-$ (см. рис. 2) и нейтрального $(\text{H}_2\text{O})_6$ (рис. 3) кластеров воды можно сделать вывод, что локальная структура избыточного электрона в ассоциатах $(\text{H}_2\text{O})_6^-$ и $(\text{NH}_3)_{13}^-$ хорошо соответствует известным представлениям [18, 19] о том, что гидратированный или сольватированный электрон e_{solv}^- — это электрон, захваченный в полости, которая образована поляризованными молекулами H_2O или NH_3 . Нейтральный кластер $(\text{H}_2\text{O})_6$ характеризуется практически плоской структурой, тогда как анионный кластер $(\text{H}_2\text{O})_6^-$ формирует объемную "cage"-структуру.

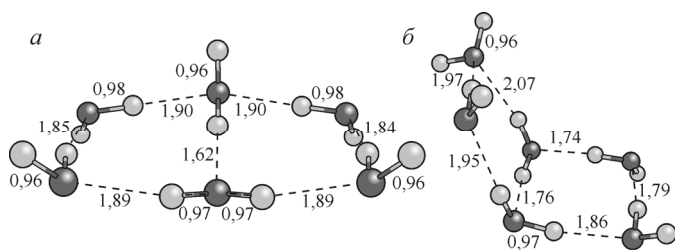


Рис. 3. Результаты B3LYP/6-311++G(3df,3pd) (*а*) и MP2/6-311++G(3df,3pd) (*б*) расчета оптимизированной структуры (симметрия C_1) электро-нейтрального кластера воды (H_2O)₆ при стартовой геометрии для анионного кластера воды (H_2O)₆⁻ (см. рис. 2). Длины водородных связей H–O указаны в ангстремах

Данная работа была выполнена с использованием вычислительных ресурсов объединенного вычислительного кластера НТК "Институт монокристаллов" и Института сцинтиляционных материалов НАН Украины в составе Украинского национального грида.

СПИСОК ЛИТЕРАТУРЫ

1. Zurek E., Edwards P.P., Hoffman R. // *Angew. Chem. Int. Ed.* – 2009. – **48**. – P. 8198 – 8232.
2. Бродский А.М., Царевский А.В. // *Успехи химии.* – 1987. – **56**, № 10. – С. 1693 – 1716.
3. Shkrob I.A. // *J. Phys. Chem. A.* – 2006. – **110**. – P. 3967 – 3976.
4. Shkrob I.A. // *J. Phys. Chem. A.* – 2007. – **111**. – P. 5223 – 5231.
5. Ogg R.A. // *Phys. Rev.* – 1946. – **69**. – P. 668 – 669.
6. Lee I.-R., Lee W., Zewail A.H. // *Chem. Phys. Chem.* – 2008. – **9**. – P. 83 – 88.
7. Sarkas H.W., Arnold S.T., Eaton J.G. et al. // *J. Chem. Phys.* – 2002. – **116**. – P. 5731 – 5737.
8. Coe J.V., Lee G.H., Eaton J.G. et al. // *J. Chem. Phys.* – 1990. – **92**. – P. 3980 – 3982.
9. Krebs P. // *J. Phys. Chem.* – 1984. – **88**. – P. 3702 – 3709.
10. Sommerfeld T. // *J. Phys. Chem. A.* – 2008. – **112**. – P. 11817 – 11823.
11. Becke A.D. // *J. Chem. Phys.* – 1993. – **98**. – P. 5648 – 5652.
12. Lee C., Yang W., Parr R.G. // *Phys. Rev. B.* – 1988. – **37**. – P. 785 – 797.
13. Head-Gordon M., Pople J.A., Frisch M.J. // *Chem. Phys. Lett.* – 1988. – **153**. – P. 503 – 506.
14. Frisch M.J., Trucks G.W., Schlegel H.B. et al. Gaussian 03, Revision B.02, Gaussian, Inc., Pittsburgh PA, 2003.
15. Schindewolf U., Wunschel P. // *Canad. J. Chem.* – 1977. – **55**. – P. 2159 – 2164.
16. Castleman A.W., Bowen K.H. // *J. Phys. Chem.* – 1996. – **100**. – P. 12911 – 12944.
17. Herbert J.M., Head-Gordon M. // *Proc. Natl. Acad. Sci. USA.* – 2006. – **103**, N 39. – P. 14282 – 14287.
18. Hart E.J., Anbar M. *The Hydrated Electron.* – N.-Y.: Wiley-Interscience, 1970.
19. Thompson J.C. *Electrons in Liquid Ammonia.* – Oxford: Clarendon Press, 1976.
20. Takayanagi T., Yoshikawa T., Motegi H., Shiga M. // *Chem. Phys. Lett.* – 2009. – **482**, N 4-6. – P. 195 – 200.
21. Новаковская Ю.В. // *Журн. физ. химии.* – 2010. – **84**, № 2. – С. 291 – 306.
22. Lepoutre G., Jotner J. // *J. Phys. Chem.* – 1972. – **76**. – P. 683 – 687.